



杭州电子科技大学
HANGZHOU DIANZI UNIVERSITY

基于全忆阻神经网络的复杂模式形成

杭州电子科技大学电子信息学院电子信息工程专业

指导教师：董玉皎

答辩人：丁羿然

时间：2024-6

目录

- 1. 研究背景及意义
- 2. 研究内容，方法和仿真
 - ▶ 2.1 三阶神经元电路模型及其状态分析
 - 2.1.1 简化 CCM 的三阶神经元电路模型
 - 2.1.2 模型的动力学机制分析
 - 2.1.3 模型的状态仿真
 - ▶ 2.2 基于三阶神经元电路的环状神经网络
 - 2.2.1 LAM 忆阻器模型
 - 2.2.2 环状网络的连接模式和数学模型
 - 2.2.3 环状网络的状态度量
 - 2.2.4 基于环状神经网络的时空图案
- 3. 总结

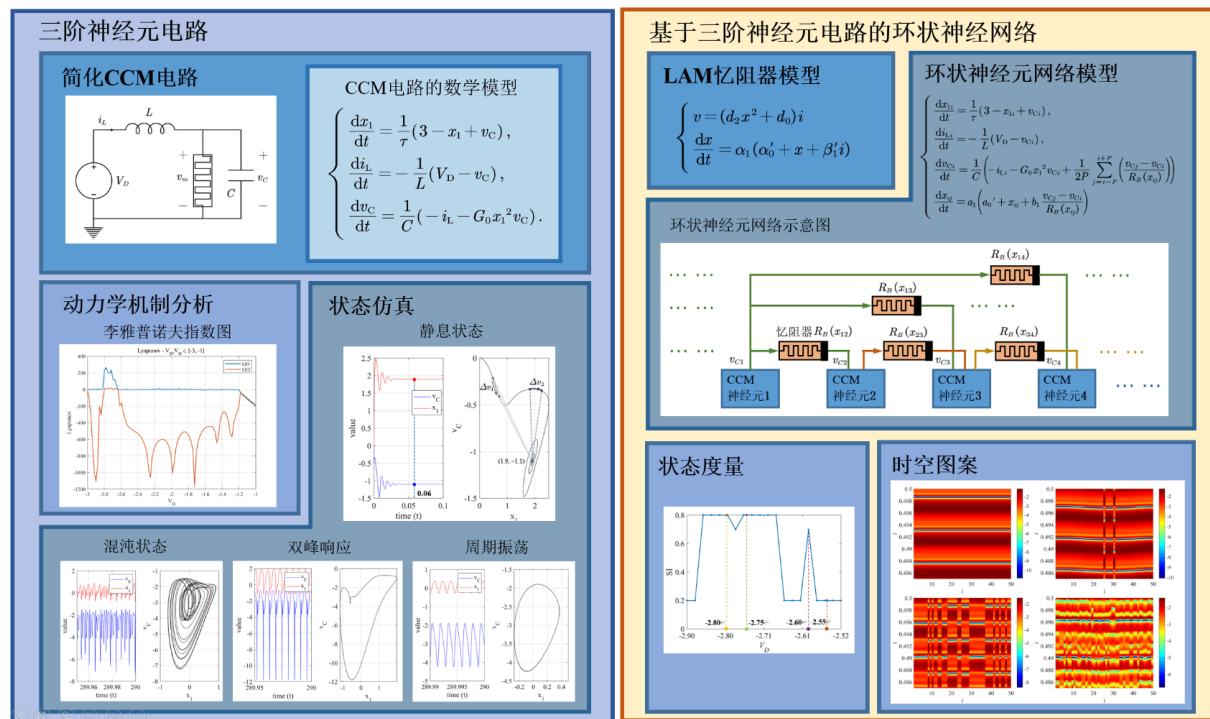


图 1: 目录结构

1. 研究背景及意义

霍奇金-赫胥黎(HH)神经元模型^[1]及其变体是研究神经元动态响应的重要工具,但由于该模型**异常复杂**,理论分析和计算解析解非常困难。因此,研究者构建出的三维 Hindmarsh-Rose(HR)神经元模型更加**简单**,且能模拟多种膜电位的放电活动,包括混沌和周期性的尖峰和爆发性放电^[2]、爆发性和尖峰放电的转变^[3]。

研究^[4]表明,神经元在“**混沌边缘**”的状态下运行,是大脑的**复杂性**和**适应性**形成的条件之一。忆阻器作为一种新型电子元件,其在特定电磁条件下的电流状态与神经元膜电位活动模式相似。于是研究人员将忆阻器引入经典神经元模型,揭示了**模式转换**和**同步转换**等复杂动力学行为^[5-7]。基于忆阻器的混沌电路和神经网络开发取得了显著进展,观察到复杂的动力学现象^[8-10]。

奇美拉状态描述了**同步**和**异步**群集在耦合振荡器网络中的共存现象,在生物系统中有所体现^[11-13]。研究奇美拉状态有助于理解神经网络的复杂行为和潜在应用^[14-16]。

综上,通过研究忆阻器神经元模型的奇美拉状态,能够深入理解生物神经元的放电活动及其混沌动力学状态,并在构建具有复杂动力学特性的神经网络和电路方面取得一定进展。

2.1 三阶神经元电路模型及其状态分析

2.1.1 简化 CCM 的三阶神经元电路模型

本文旨研究全忆阻神经网络的动力学复杂模式的形成，电路需要有三阶的复杂度，并着力研究处于混沌状态的特性。考虑在局部有源区域内，根据工作点对应的状态变量范围对 CCM 的数学模型进行简化处理。采用简化后^[17]的 CCM 模型，可以构建出如图 2 所示的神经元电路。该电路的数学模型可描述为：

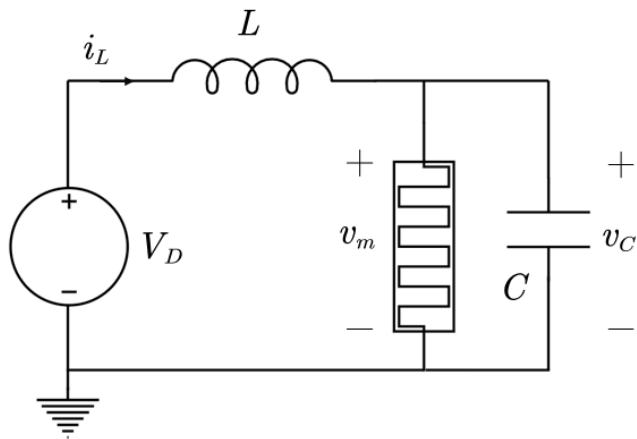


图 2: 三阶神经元电路

$$\begin{cases} \frac{dx_1}{dt} = \frac{1}{\tau}(3 - x_1 + v_C), \\ \frac{di_L}{dt} = -\frac{1}{L}(V_D - v_C), \\ \frac{dv_C}{dt} = \frac{1}{C}(-i_L - G_0 x_1^2 v_C). \end{cases} \quad (1)$$

2.1.2 模型的动力学机制分析

假设(1) 中等式左侧均为 0 时，我们可得到该三阶电路系统的平衡点，即

$$\begin{cases} \hat{x}_1 = 3 + \hat{v}_C, \\ \hat{v}_C = V_D, \\ \hat{i}_L = -G_0 \hat{x}_1^2 \hat{v}_C \end{cases} \quad (2)$$

式(2) 中可以发现，平衡点 Q 的位置只与偏置电压 有关系。如果系统展示出混沌吸引子，需要满足以下三个条件：

- 1) 存在至少一个正的李雅普诺夫指数。
- 2) 至少有一个李雅普诺夫指数为零。
- 3) 李雅普诺夫指数谱的总和为负。

对于三阶混沌系统，根据上述分析，其李雅普诺夫指数谱符号唯一，即 $(-, 0, +)$ ，满足 $\mathbf{LE1} < -\mathbf{LE3}$ 。

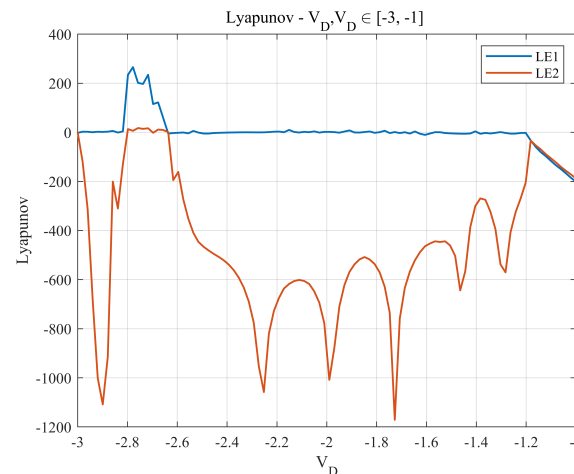


图 3: 李雅普诺夫指数图

在 $L = 0.6 \text{ H}$, $C = 68 \text{ nF}$ 的条件下，计算得到李雅普诺夫指数图，如图 3 所示。参数范围 $[-2.82 \text{ V}, -2.62 \text{ V}]$ 内满足产生混沌的条件：

$$0 < \mathbf{LE1} < -\mathbf{LE3}, \mathbf{LE2} \text{ 接近 } 0。$$

2.1.3 模型的状态仿真

如图 4(a)，在左侧时域图中，蓝色、橙色的图形分别代表电压 v_C ，状态变量 x_1 的变化趋势。在右侧相位图体现了电压 v_C 与 CCM 器件状态变量 x_1 之间的关系，由此可以清晰的评估系统的动力学现象。

在特定参数($L = 600 \text{ mH}$, $C = 68 \text{ nF}$)下，该三阶 CCM 神经元电路展现的神经行为包括：**静息状态(a)**，**周期尖峰(b)**，**混沌状态(c)**，**双峰响应(d)**，**周期振荡(e)**和**倍周期现象(f)**。

当外加偏置电压 V_D 为 -2.82 V 时，如图 4(f)所示，在 $t \in [299.99, 300]$ 时， v_C 波形的周期约为 3 个，相位图显示神经元处于周期振荡状态，周期为 $V_D = -2.9 \text{ V}$ (图 4(e))时的 2 倍。

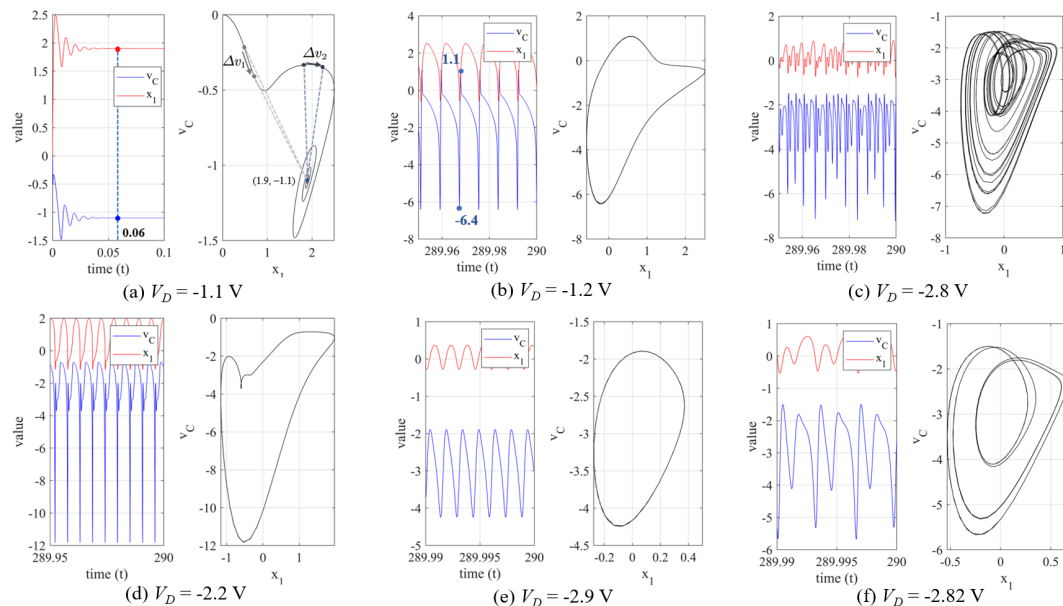


图 4: V_D 不同时的对应的模型状态

2.2 基于三阶神经元电路的环状神经网络

2.2.1 LAM 忆阻器模型

根据基于 Chua's 展开定理^[18]设计的忆阻系统^[19]的数学框架，一个通用的电流控制型忆阻器可以描述为：

$$\begin{cases} v = R_M(x)i = \left(\sum_{k=0}^r d_k x^k \right) i \\ \frac{dx}{dt} = f(x, i) = \sum_{k=0}^n a_k x^k + \sum_{k=0}^m \beta_k i^k + \sum_{k=0}^p \sum_{l=0}^q \delta_{kl} i^k x^l \end{cases} \quad (3)$$

经过近似和化简^[20]，得到简单的 S 型电流控制 LAM 模型如下

$$\begin{cases} v = (d_2 x^2 + d_0) i \\ \frac{dx}{dt} = \alpha_1 (\alpha'_0 + x + \beta'_1 i) \end{cases} \quad (4)$$

2.2.2 环状网络的连接模式和数学模型

考虑到研究了上述忆阻器构成的环状三阶神经网络。环形连接模式如图 5 所示，其中最后一个子网络连接到第一个子网络，形成一个完全封闭的环网络。环网络由 N 个子网络组成， x_{1i} 表示第 i 个子网络的状态变量。

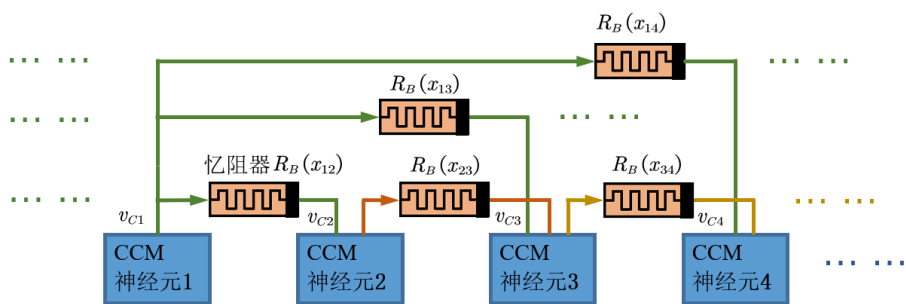


图 5: 环状神经网络示意图

由此，我们得到如下方程：

$$\begin{cases} \frac{dx_{1i}}{dt} = \frac{1}{\tau}(3 - x_{1i} + v_{Ci}), \\ \frac{di_{Li}}{dt} = -\frac{1}{L}(V_D - v_{Ci}), \\ \frac{dv_{Ci}}{dt} = \frac{1}{C} \left(-i_{Li} - G_0 x_{1i}^2 v_{Ci} + \frac{1}{2P} \sum_{j=i-P}^{i+P} \left(\frac{v_{Cj} - v_{Ci}}{R_B(x_{ij})} \right) \right) \\ \frac{dx_{ij}}{dt} = a_1 \left(a_0' + x_{ij} + b_1 \frac{v_{Cj} - v_{Ci}}{R_B(x_{ij})} \right) \end{cases} \quad (5)$$

其中 $R_B(x_{ij}) = (d_2 x_{ij}^2 + d_0)$, $i = 1, 2, \dots, N$ ，每个三阶神经元与其最近的 $2P$ 个邻居对称耦合，即与其左右邻居中的 P 个相互作用，并且通过 x_{ij} 相互连接。

2.2.3 环状网络的状态度量

为了定量描述环状三阶神经网络中揭示的**集体行为**，采用不一致性强度(SI)^[20,21]。将变换变量 w_{1i} 定义为 $w_{1i} = x_{1(i+1)} - x_{1i}$ ，对于 $i = 1, 2, \dots, N$ 。根据文献^[20,22]的分析结果，将神经元子网络的数量分为 M 个相等长度的箱，即 $n = N/M$ 。定义局部标准差 $\sigma(m)$ 为

$$\sigma(m) = \left\langle \sqrt{\frac{1}{n} \sum_{j=n(m-1)+1}^{mn} (w_{1j} - \langle w_1 \rangle)^2} \right\rangle_t, \quad (6)$$

其中 $m = 1, 2, \dots, M$), $\langle w_1 \rangle = (1/N) \sum_{i=1}^N w_{1i}(t)$, $\langle \dots \rangle_t$ 表示时间平均。因此，SI 可以通过以下方式计算

$$SI = 1 - \frac{1}{M} \sum_{m=1}^M \Theta[\delta - \sigma(m)] \quad (7)$$

V_D 在 $[-3V, -1V]$ 下的 SI 呈现在图 6 中。**所有点都处于奇美拉态**，在 $[-2.88V, -2.62V]$ 的情况下，环状网络比较**倾向于部分不同步**，与前文针对李雅普诺夫指数图的分析结论一致。其余点**倾向于部分同步**。

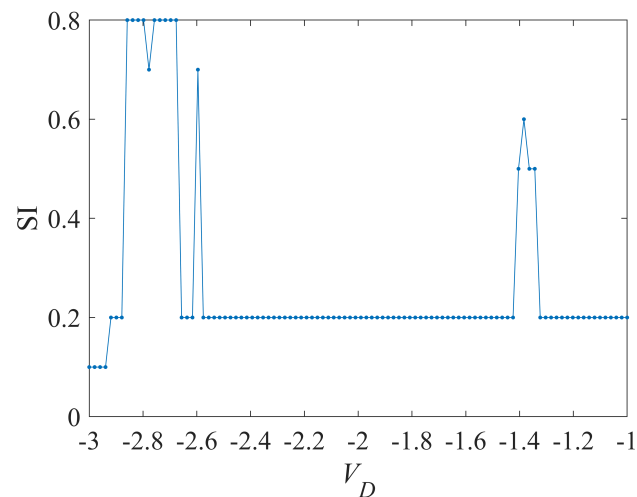


图 6: 环状网络不一致性强度

2.2.4 基于环状神经网络的时空图案

在这里，考虑三阶神经元电压 V_D ，以数值方式展示了当三阶神经元电压 V_D 变化时环网络中奇美拉(或多重奇美拉)、同步和不同步状态的转变。

- V_D 调整为 -2.55 V，此时 $SI = 0.2$ ，为同步状态。图 7(a)显示环网络处于一个有序的单一一致状态
- V_D 调整为 -2.60 V 时，此时 $SI = 0.7$ ，为部分同步的奇美拉态。图 7(b)显示，环网络以一种不完全同步的状态振荡。序号为 **25** 和 **30** 的节点振荡处于不同步状态，而其余子网络几乎以一致或空间同步的状态振荡。
- V_D 调整为 -2.75 V 时，此时 $SI = 0.8$ ，为部分不同步的奇美拉态。图 7(c)显示，环网络以一种不完全同步的状态振荡。有两组不完全相邻的节点群(组 1 数量:组 2 数量=1:1)振荡处于不同步状态，每个节点群几乎以一致的状态振荡
- V_D 调整为 -2.80 V 时，此时计算的 $SI = 0.8$ ，为不同步状态。

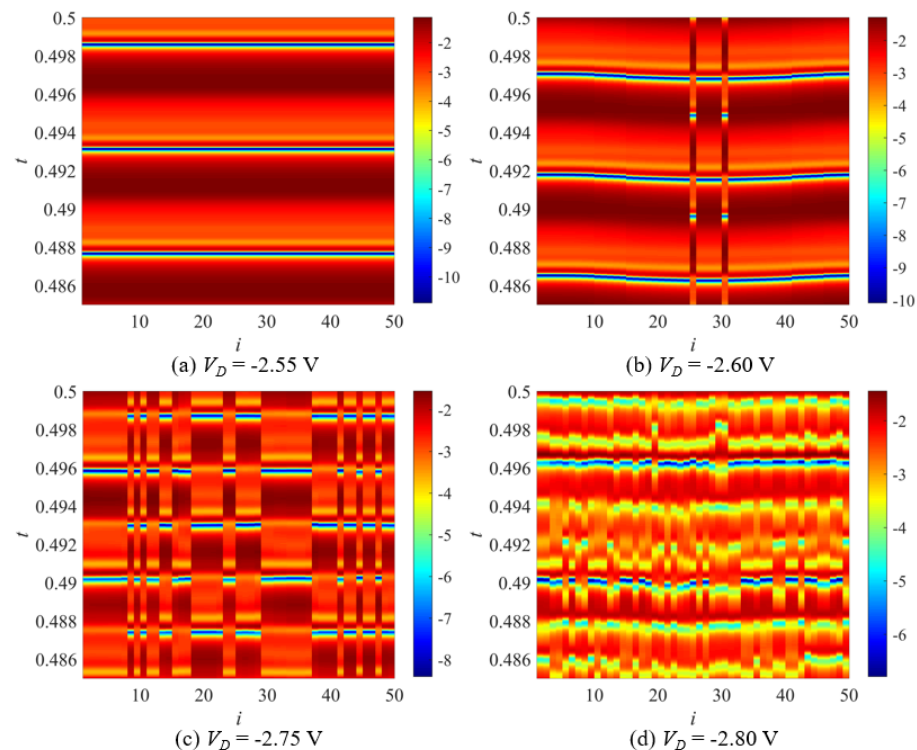


图 7: V_D 不同时的对应的时空图案

3. 总结

本文基于简化的 CCM 模型，验证了一种新型的**三阶神经元电路**。该电路在不同输入电压 V_D 控制下展示出丰富的动力学行为。通过**相空间轨迹**和 **Lyapunov 指数**分析，研究了系统从有序到混沌的转变过程。相空间轨迹揭示了不同动力学状态的形态，而 Lyapunov 指数分析显示系统的稳定性和混沌特性。具体来说，当 Lyapunov 指数为(+,0,-)时，系统表现出混沌行为，其他情况下则为周期性和稳定状态。仿真验证表明，该电路展现了**静息状态、周期尖峰、混沌状态和双峰响应**等多种动力学行为，支持了 Lyapunov 指数的推断。

在此基础上，本文引入 **LAM 忆阻器模型**，设计了一个**环状三阶神经元网络**。该网络由 N 个三阶神经元电路组成，每个神经元与其最近的 $2P$ 个邻居对称耦合，形成封闭环结构。通过仿真研究了环状网络在不同初始条件下的动态行为，并采用**不一致性强度**(SI)等统计度量方法定量描述网络状态。仿真结果表明，通过调节电压 V_D ，该网络能够产生**同步、不同步、部分同步和部分不同步的奇美拉状态**。时空图像仿真提供了这些复杂状态的直观展示，支持了对网络动态行为的理解。

附录

- [1]. Hodgkin A L, Huxley A F. A quantitative description of membrane current and its application to conduction and excitation in nerve[J]. The Journal of physiology, 1952, 117(4): 500.
- [2]. Gu H. Biological experimental observations of an unnoticed chaos as simulated by the Hindmarsh-Rose model[J]. PLoS One, 2013, 8(12): e81759.
- [3]. Gu H, Pan B, Chen G, et al. Biological experimental demonstration of bifurcations from bursting to spiking predicted by theoretical models[J]. Nonlinear Dynamics, 2014, 78(1): 391-407.
- [4]. Sangwan V K, Lee H S, Bergeron H, et al. Multi-terminal memtransistors from polycrystalline monolayer molybdenum disulfide[J]. Nature, 2018, 554(7693): 500-504.
- [5]. Majhi S, Perc M, Ghosh D. Chimera states in a multilayer network of coupled and uncoupled neurons[J]. Chaos: an interdisciplinary journal of nonlinear science, 2017, 27(7).
- [6]. Wang Y, Ma J, Xu Y, et al. The electrical activity of neurons subject to electromagnetic induction and Gaussian white noise[J]. International Journal of Bifurcation and Chaos, 2017, 27(02): 1750030.
- [7]. Xu Y, Jia Y, Ge M, et al. Effects of ion channel blocks on electrical activity of stochastic Hodgkin–Huxley neural network under electromagnetic induction[J]. Neurocomputing, 2018, 283: 196-204.
- [8]. Itoh M, Chua L O. Memristor oscillators[J]. International journal of bifurcation and chaos, 2008, 18(11):3183-3206.
- [9]. 包伯成, 胡文, 许建平, 等. 忆阻混沌电路的分析与实现[J]. 物理学报, 2011, 60(12):8.

- [10]. Teng L, Iu H H C, Wang X, et al. Chaotic behavior in fractional-order memristor-based simplest chaotic circuit using fourth degree polynomial[J]. *Nonlinear Dynamics*, 2014, 77(1-2):231-241.
- [11]. Bera B K, Majhi S, Ghosh D, et al. Chimera states: effects of different coupling topologies[J]. *Europhysics Letters*, 2017, 118(1): 10001.
- [12]. Wojewoda J, Czolczynski K, Maistrenko Y, et al. The smallest chimera state for coupled pendula[J]. *Scientific reports*, 2016, 6(1): 34329.
- [13]. Rakshit S, Bera B K, Perc M, et al. Basin stability for chimera states[J]. *Scientific reports*, 2017, 7(1): 2412.
- [14]. Abrams D M, Strogatz S H. Chimera states for coupled oscillators[J]. *Physical review letters*, 2004, 93(17): 174102.
- [15]. Dudkowski D, Maistrenko Y, Kapitaniak T. Different types of chimera states: An interplay between spatial and dynamical chaos[J]. *Physical Review E*, 2014, 90(3): 032920.
- [16]. Majhi S, Perc M, Ghosh D. Chimera states in uncoupled neurons induced by a multilayer structure[J]. *Scientific reports*, 2016, 6(1): 39033.
- [17]. Guo H-M, Liang Y, Dong Y-J, 等. Simplification of Chua corsage memristor and hardware implementation of its neuron circuit[J]. *Acta Physica Sinica*, 2023, 72(7): 070501.
- [18]. Chua L. Resistance switching memories are memristors[J]. *Handbook of memristor networks*, 2019: 197-230.
- [19]. Ascoli A, Slesazeck S, Tetzlaff R, et al. Unfolding the local activity of a memristor[C]//2014 14th International Workshop on Cellular Nanoscale Networks and their Applications (CNNA). *IEEE*, 2014: 1-2.
- [20]. Rakshit S, Bera B K, Perc M, et al. Basin stability for chimera states[J]. *Scientific reports*, 2017, 7(1): 2412.
- [21]. Gopal R, Chandrasekar V K, Venkatesan A, et al. Observation and characterization of chimera states in coupled dynamical systems with nonlocal coupling[J]. *Physical review E*, 2014, 89(5): 052914.
- [22]. Majhi S, Perc M, Ghosh D. Chimera states in uncoupled neurons induced by a multilayer structure[J]. *Scientific reports*, 2016, 6(1): 39033.